

高等学校教学用書

机 械 零 件

中 册

Н. И. 柯尔欽主編

В. С. 波略可夫, В. Н. 庫德略夫切夫
М. П. 祖巴諾夫, А. С. 阿 諾 索 夫 著
И. Д. 巴尔巴施, В. Д. 米雅赫可夫

高等 教育 出版 社

电子学研究所图书馆

12.2
312

高等学校教学用書



机 械 零 件
中 册

Н. И. 柯尔欽主编

В. С. 沙略可夫, В. Н. 库德略夫切夫
М. П. 祖巴諾夫, А. С. 阿諾索夫著
И. Д. 巴尔巴施, В. Д. 米雅赫可夫
天津大学等十二院校集体翻譯
南京工学院机械零件教研組修訂

科 學 社
高 等 教 育 出 版 社

330346

266

本書系根据苏联国立机器制造与造船書籍出版社(Государственное научно-техническое издательство машиностроительной и судостроительной литературы)1954年出版的技术科学博士柯尔钦(Н. И. Колчин)教授主编,波略可夫(В. С. Поляков)、尼德略夫切夫(В. Н. Кудрявцев)、祖巴諾夫(М. П. Зубанов)、阿若索夫(А. С. Аносов)、巴尔巴什(И. Д. Барбаш)、及米雅赫可夫(В. Д. Мягков)所著的“机械零件”(Механические детали машин)一書譯出。原書經苏联文化部前高等教育总署审定为机器制造高等工业学校教科参考書。

本書在各門基础技术課程的基础上叙述机械零件、机械传动裝置及減速箱的計算与設計的原理,中譯本分上、中、下、三册出版。

本書系供高等工业学校机器制造專業作教學參考書,亦可供工厂的设计科及设计机关中工程技术人员利用。

本書由天津大学等十二院校集体譯譯,其分工情况見“譯者序(一)”,并由天津大学机械零件教研室组汪总校订。此次修訂版由南京工学院机械另件教研組負責修訂。

机 械 零 件

中 册

B. C. 波略可夫等著

天津大学等十二院校集体譯譯

南京工学院机械另件教研組修訂

高等教育出版社出版

北京编辑组一七〇号

(北京市書刊出版業營業登記證字第〇五四號)

京華印書局印刷 新華書店總經售

统一書號13010·223 印本 850×1168 1/32 印張 8 1/16 字數 205,000

一九五五年六月北京第一版

一九五七年五月北京第二版(修訂本)

一九五七年五月北京第五次印刷

印數 19,001—27,000 定價《10》元 1.30

中冊 目 彙

第三編 傳動機件

第十章 軸頸 (М. П. Зубанов)	355
1. 概說及分類	355
2. 端軸頸和中軸頸的構造形狀	356
3. 圓柱形端軸頸表面的壓力分布	391
4. 端軸頸和中軸頸的計算	395
5. 止推軸頸的構造形狀	400
6. 止推軸頸的計算	401
第十一章 心軸和轉軸 (М. П. Зубанов)	403
1. 心軸的結構形狀	403
2. 心軸的計算	409
3. 轉軸的結構形狀	419
4. 轉軸強度計算的一般資料	422
5. 承受荷重和扭矩的轉軸的強度計算	461
6. 轉軸的剛度計算	437
7. 轉軸按臨界速度和共振的計算	441
第十二章 滑動軸承 (М. П. Зубанов)	447
1. 滑動摩擦的種類	447
2. 潤滑油的粘度	450
3. 彼得羅夫的潤滑的流體動力學理論	451
4. 圓柱形軸承的理論及計算	455
5. 滑動軸承的結構	475
6. 潤滑油與潤滑裝置	503
第十三章 滾動軸承 (В. Д. Мягков)	515
1. 基本概念	515
2. 滾動軸承的主要型式、特性和用途	521
3. 滾動軸承計算的要素	534
4. 滾動軸承的選擇	559
5. 軸承裝置的結構設計	568
第十四章 聯軸器 (М. П. Зубанов)	586
1. 聯軸器的用途及其分類	586



2. 刚性联轴节	583
3. 弹性(挠性)联轴器	599
4. 非金属接触式(绝缘式)弹性联轴器	615
5. 离合器	619
6. 安全离合器	643
7. 定向离合器	645
8. 离合器的操纵装置	647
中俄名词对照表	1
对原文本修正意见表	5

第三編 傳動機件

第十章 軸頸

1. 概說及分類

在一切具有旋轉運動的機器中，其轉動部分裝置在特別的零件上，這些零件實際上構成了轉動部分的旋轉幾何軸線。這些零件稱為心軸和轉軸。

心軸和轉軸的區別如下。

心軸僅用來支持轉動的零件，可與轉動零件一起轉動，也可緊緊地固定在支承上。作用在心軸上的載荷，通常使軸內產生彎應力。

轉軸支持轉動零件並與轉動零件一起轉動，和心軸一樣地承受橫向力，但同時總是還承受扭矩作用。

因此，心軸主要受彎矩作用，而轉軸則既受彎矩作用，還受扭矩作用，而且它總是轉動的零件。此外，心軸不傳遞機械功，而轉軸却傳遞機械功。

用來限制心軸或轉軸自由移動的零件稱為支承（即軸承）；心軸或轉軸上為支承所包圍的部分稱為軸頸。

按照支承反力作用於軸頸上的方向，軸頸可分為二類：

1) 支承反力垂直於旋轉軸線的軸頸。這類軸頸又有二種型式：端軸頸（圖1）和位於轉軸或心軸中部的中軸頸（圖2）。

2) 支承反力與旋轉軸線相重合或平行的軸頸：這類軸頸稱為止推軸頸。

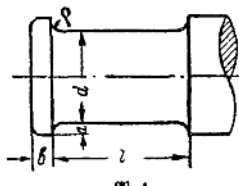


圖 1.

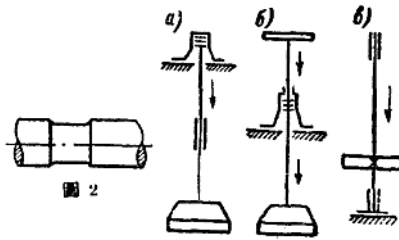


圖 2

圖 3.

止推軸頭又可分為：a) 上止推軸頭，這時轉軸受拉伸（圖3,a）；b) 中止推軸頭，這時轉軸的一部分受壓縮而另一部分受拉伸（圖3,b）；c) 下止推軸頭，轉軸受壓縮或受縱向彎曲（圖3,c）。

除上述變形外，在一切情況下轉軸均發生彎曲變形和扭轉變形。

端軸頭和中軸頭的支承稱為軸承，而止推軸頭的支承稱為止推軸承。

2. 端軸頭和中軸頭的構造形狀

端軸頭具有各種式樣的形狀和斷面。其中極大部分是圓柱形的，但也有圓錐形的、鑽形的和球形的。端軸頭可以與轉軸製成一體或和軸分開製造。

軸頭可製成實心的或空心的。

為了使在製造上或在軸頭和軸承接觸部分的相互裝配上最簡

單又最精確起見，軸頭多半採用圓柱形。

只有在軸承裝置特種工作條件所引起的特殊情況下才將軸頭做成圓錐形或球形。

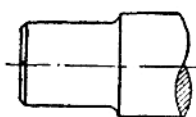


圖 4.

為了使圓柱形端軸頭和它的軸承的位置相對地固定起見，也就是為了在軸向力

作用下保證軸頸沒有軸向移動起見，在端軸頸上制成軸肩（圖1），这种軸肩一般具有如下的尺寸：高度 $a=(0.07d+3.0\mu)\sim(0.10d+5.0\mu)$ ；寬度 $b=1.4\alpha$ ；圓角半徑 $\rho=0.5\alpha$ 。

端軸頸可以只有一个軸肩（圖4）。位于轉軸或心軸的兩端的兩個端軸頸就構成一个閉合的旋轉副。

这种端軸頸形狀很适用于受重載荷并裝在兩個軸承上的轉軸，因为这时轉軸可以自由地弯曲。

但是般說来这种利用在不同軸承上的二个軸肩來構成閉合旋轉副的方法，不是經常推荐采用的，因为在这种情况下，修配和找正是困难的。

当轉軸和心軸很長，而溫度又有变化时，这种閉合法使軸肩上的压力过分增大。

当心軸或轉軸在整个長度上直徑相同时，或者当軸頸的直徑和轉軸（心軸）的直徑有相同尺寸时，端軸頸可用軸肩或軸环来与軸分開（圖5），或者甚至采用一个軸环安置在端軸頸或中軸頸的中間斷面处（圖6）。这样的軸环先經車削后，用銲接銲上或在熾热状态时套上，然后车削成最后的形狀。

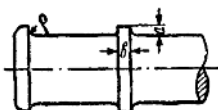


圖 5.



圖 6.

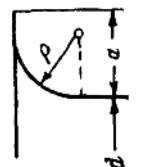


圖 7.

通常車削軸肩要增加成本，因此这种方法只在万不得已时才采用。

端軸頸沿長度支承在軸承襯上，而軸肩緊壓在軸承襯的凸緣上，從端軸頸或中軸頸過渡到心軸或轉軸本體的部分稱為內圓角。端軸頸的內圓角半徑常比軸承襯上的圓角半徑為小，關於內圓角半徑 ρ 和軸承襯圓角半徑 R （圖 7）的數值列於表 1 中。

表 1. 軸頸內圓角和軸承襯圓角半徑

d	N.M						
	19~28	30~46	48~55	58~68	70~100	105~110	115~150
ρ	1.5	2	3	3	4	5	6
R	2.5	3	4	4	5	6	8

由軸上小直徑到大直徑的過渡部分設計得好，就可以保證零件具有較高的強度，因為這樣可將應力集中減低到最小限度。

在受載荷的軸頸輪廓圖中，可用和水流相仿的力線，來表示應力，在力線密集的地方應力較高。

假使從軸頸到軸的過渡部分設計得沒有圓角，那麼在過渡處應力將增加到很大。在圖 8 中，虛線 $b-b$ 表示力線最密的地方，因此也是最危險的斷面。在這些地方常因金屬的疲勞而呈現裂紋以致折斷。

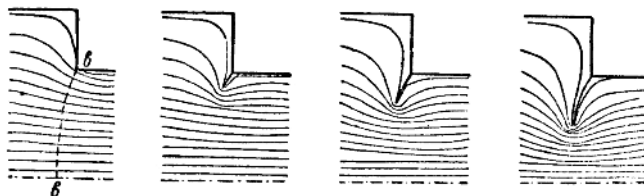


圖 8.

圖 9 所示是從一直徑過渡到另一直徑的正確設計——不用圓弧，而用橢圓形弧。這裡的力線沒有發生急劇的變化，因此應力集

中可縮減到最小。

軸肩相當高時可以採用圖10所示的結構形狀。在這種情況下，應力集中也是不大的。



圖 9.

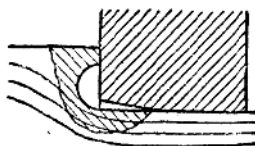


圖 10.

如果轉軸是裝在滾珠軸承上，則推薦採用圖11的軸頸形式比較好。

當軸向力很大時，推薦採用圖12所示的過渡方法，這裡在直徑粗大部附加的槽，能使零件所受載荷減輕，並且使力線得到較平穩的形狀。

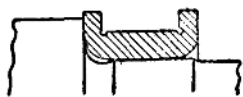


圖 11.



圖 12.

但是在轉軸上固定的凸出部——軸肩，使裝配有些困難：它使任何未剖分的零件都不能裝配在轉軸上。为了避免這種困難，在轉軸上常裝置可動的定位軸環（圖13），用螺絲加以固定。定位軸環的尺寸與轉軸直徑之間的關係列在表2中。

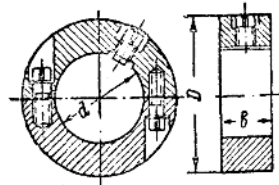


圖 13

表 2. 定位軸環的尺寸(毫米)

尺寸	鋼 軸 環	鑄鐵軸環
外徑.....	$1.5d + (10 \sim 15)$	$1.5d + 20$
寬度.....	$0.33d + 20$	$0.5d + 10$
螺絲直徑....	$0.1d + 10$	$0.1d + 10$

端軸頸(中軸頸)和
軸承襯間的間隙決定于
配合,配合的確定是按
照潤滑的流體動力學理
論對軸承的計算並且考
慮到機構的工作條件。

例如,在計算齒小

的齒輪傳動時,軸頸和軸承襯間的間隙必須與嚙合的齒高相適應。

圓錐形軸頸用得很少。它們只用在當軸頸與軸承襯之間由於
磨損而形成的間隙必須消除的那些情形下。

圖 14 所示是這種端軸頸。這裡,套筒 1 做成圓錐形的表面,
藉助於螺母 2 可沿軸向滑動,用來調節所形成的間隙。軸向力由
止推滾珠軸承來承受。

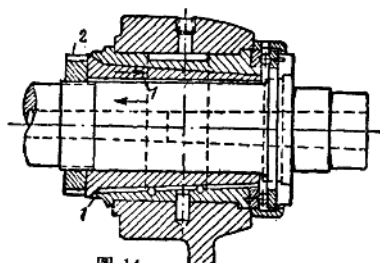


圖 14.

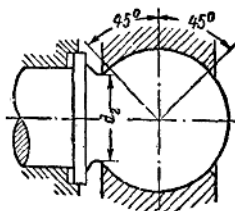


圖 15.

球形端軸頸(圖15)也很少用。這種軸頸容許軸頸軸線對軸承
軸線有某些傾斜,而在它的表面上並不引起壓力的再分布。然而
應當注意球形端軸頸,製造較困難,因此它通常與軸承只在不大的
面上接觸。在這些接觸面上,壓力急劇地增高,產生發熱現象,並
且由此帶來了一切有害的影響。

因此當轉軸(或心軸)的幾何軸線在工作過程中要偏轉某些角

度的情況下，應採用球形端軸頸。

3. 圓柱形端軸頸表面上的壓力分布

如果把端軸頸和軸承襯都當作剛體，中間沒有潤滑油膜隔開，並且不考慮轉軸的撓度使軸頸在軸承上產生偏轉的影響，那末可以認為跑合的端軸頸對軸承襯的壓力是沿着軸承長度平均分布的。

對新的沒有跑合的端軸頸，壓力可能不是平均分布的，但如安裝得正確，則這種分布不均的現象並不顯著，並且隨着軸承襯上受壓力較大部分的磨損而迅速消除。

然而應當盡力設法使端軸頸和軸承襯間有一層油膜，因為這樣可使摩擦損失和磨損大大地減少。由於有油膜存在，並且由於軸頸和軸承襯都不是絕對剛體，因此使得在實際上，壓力就沿着軸承襯長度而重新分布，並且大約在軸承襯的中央，壓力達到最大值。

當間隙中有潤滑油時，沿着軸承襯長度上壓力分布的情況，如 16 圖所示。壓力分布情況與軸頸和軸承的幾何形狀及變形有關。

當彈性軸和剛性軸承襯配合時，壓力分布的特徵如曲線 1。如果軸承襯兩端有彈性，則在軸承襯中間壓力大大地增加（曲線 2），軸承襯愈長，則壓力將增加得愈厲害。曲線 3 表示壓力均勻分布的情況（理想情況）。

在軸頸的橫斷面中，壓力分布也是不均勻的。當有潤滑油存在時壓力變化的特徵如圖 17 中曲線所示。

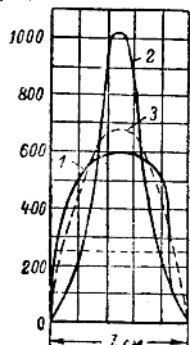


圖 16.

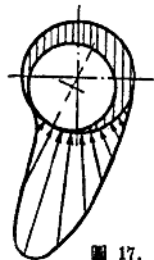


圖 17.

很多人曾經屢次試圖从理論上探求壓力變化的規律。例如，可以根據下面的討論來達到這個目的。

設 p ——單位表面上的壓力(kg/cm^2)；

P ——軸頸上的載荷(kg)；

l ——軸頸長度(cm)；

d ——軸頸直徑(cm)。

假使壓力在軸頸面上平均分布，那麼下式才是正確的：

$$p = \frac{P}{dl}. \quad (1)$$

但是實際上壓力並不是平均分布。磨損對於壓力分布的性質有重大的影響。可近似地假設只有軸承襯磨損，而軸頸沒有磨損，那麼壓力分布的問題可用下面方法解出。

當 P 力方向不變時，磨損量的大小決定於端軸頸中心移動量 $\overline{OO_1}=a$ 的大小(圖 18)。此時在軸承襯上任意一點垂直於端軸頸表面的磨損量為

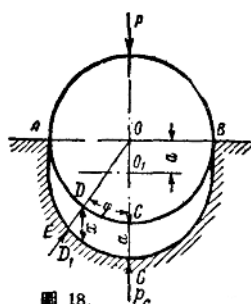


圖 18.

$$x = \overline{DE} = \overline{DD_1} \cos q = a \cdot \cos q,$$

式中 q ——端軸頸在 D 点的半徑和 P 力方向之間的角度。

在任意摩擦面上的磨損，可以首先近似地取為與單位摩擦功成正比，也就是 $x = Af p$ ，

式中 x ——磨損量；

A ——比例常數；

f ——摩擦系數。

在穩定運動中， f 和 v (軸的圓周速度)不變，因此磨損量正比於壓力 p 。

設 p_c 表示軸承襯上 C 点的壓力，在這點的磨損量(即 a)是最

大。由此可決定任意點 D 上的壓力：

$$\frac{p}{p_c} = \frac{x}{a} = \cos\varphi \text{ 或 } p = p_c \cos\varphi.$$

這樣，便得到圖 19 所示的壓力分布圖。

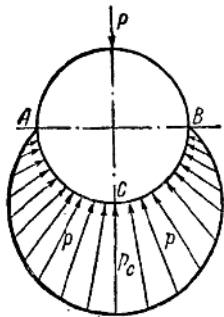


圖 19.

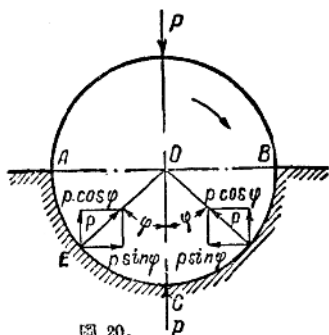


圖 20.

由上式可知：當 $\varphi=0$ 時，也就是在 C 點，壓力最大。而當 $\varphi=90^\circ$ 時，也就是在 A 和 B 點，壓力降低到零。

假使將各壓力 p 分解成二分力——一分力平行於 P 力，另一分力垂直於 P 力（圖 20）。那麼第一分力的總和等於 P 而第二分力互相平衡。

即

$$P = 2 \int_0^{\frac{\pi}{2}} p l \frac{d}{2} \cos\varphi d\varphi.$$

因為

$$p = p_c \cos\varphi,$$

所以

$$P = p_c dl \int_0^{\frac{\pi}{2}} \cos^2\varphi d\varphi.$$

$$\text{但是} \quad \int_0^{\frac{\pi}{2}} \cos^2 \varphi d\varphi = \int_0^{\frac{\pi}{2}} \frac{1 + \cos 2\varphi}{2} d\varphi = \frac{\pi}{4},$$

由此得 $P = \frac{\pi}{4} p_c l l,$

在軸承襯上最大的壓力值為

$$p_{\max} = p_c = \frac{4}{\pi} \frac{P}{dl} = 1.27 \frac{P}{dl}. \quad (2)$$

我們是假定，軸頸沒有變形，而壓力是正比於軸承襯的徑向變形，才得到這壓力分布的規律。

較精確的結果，是由拿羅傑茨基(М. З. Найдецкий)得出的，但是沒有考慮潤滑油流動的影響，得出的結果是：

$$p_{\max} = 1.25 \frac{P}{dl},$$

如考慮油膜的影響(詳細可參閱第十二章“滑動軸承”)將壓力分布的規律加以修正，所得的曲線，如圖17所示。在這情形下最大壓力可超過平均壓力一倍以上。

除此以外，像上面所提到過的，油從軸承襯兩端流出和軸頸的彎曲，都對壓力圖發生著重大的影響。

因此，根據壓力的實際分布來計算軸頸是極複雜的。

但是，上面所研究的理論解法和經驗都指出，最大壓力和 $p = \frac{P}{dl}$ 的值有一定的關係， p 稱為平均壓力強度或簡稱壓力強度。

假使對於一定的材料組合，在一定的工作條件下，並且用一定的潤滑油時，從實驗中已足夠準確地得到許用壓力強度，也就是當在這個數值時能保證組合有足夠的耐久性，那麼可以足夠可靠地引用下式進行軸頸的計算：

$$p = \frac{P}{dL} \leq [p].$$

由于这个緣故，在实际近似計算时，对于某些材料組合可引用列于表 3 中的一些許用平均压力强度的数据。

表 3. 几种材料的許用平均压力强度

材 料	$[p]$ kg/cm^2	材 料	$[p]$ kg/cm^2
鐵对鋼.....	130~250	鐵对廢舊木.....	25
鋼对青銅.....	60~90	蒸汽机曲柄銷.....	22~28
鋼对里格諾斯波(лигностон).....	50~80	蒸汽机十字头銷.....	50~75
鋼对里格諾弗尔(лигнофоль).....	50~70	用青銅軸承襯的轉動軸中軸頸.....	15~30
鋼对鑄鐵.....	15~25	主軸的中軸頸.....	12~18
鐵对金屬陶瓷材料.....	35~50		

表 3 所示的数据是大概的标准。

在某些情形下这些数据可超过一倍而摩擦副并不损坏。

这是因为虽然研究的次数很多，摩擦副工作的研究还是不够的。在第十二章中將更詳細的討論這個問題。

4. 端軸頸和中軸頸的計算

轉軸或心軸的軸承反力是作用在軸頸上并使它們弯曲的載荷。

为了避免軸頸表面上的压力發生很急剧的重新分布起見，軸頸必須具有足够的强度并且它的变形不可超过極限值。

軸頸在軸承中的轉動帶來了摩擦，由此引起磨損并發出热量。

假使壓力强度不超过許用值，則潤滑油不从間隙中挤出，在这种情况下使用潤滑油可以減少摩擦和磨損。

为了使軸頸工作正常，必須要把摩擦所生热量，散布到周圍介質中去，同时潤滑油温度不要超过某一限度。

大家知道，當溫度升高時，潤滑脂液化，它的粘度急劇降低，油膜承受載荷的能力也隨着降低；於是潤滑油將從間隙中被擠出，摩擦將增加，並且可能將軸承觀熔化。

因此對於軸頸應當進行強度計算、壓力強度計算（也就是計算抵抗磨損的能力）和發熱計算。

為了簡化軸頸的計算起見，如前所述，可按照許用平均壓力強度來計算，這時假定把載荷 P 當作平均分布在軸頸的投影面上，或者說，平均分布在它的半個表面上也是一樣。

在端軸頸的強度計算中，端軸頸可以看作是懸臂梁， P 力作用在中央，危險斷面在由端軸頸到軸的過渡地方。

強度方程式如下：

$$M_{us} = W[\sigma]_{us},$$

式中 W ——端軸頸的斷面系數；對圓斷面 $W = 0.1d^3$ ；

$[\sigma]_{us}$ ——許用應力，($\kappa\tau/c\mu^2$)；

M_{us} ——彎矩($\kappa\tau \cdot c\mu$)。

但

$$M_{us} = P \frac{l}{2};$$

則

$$P \frac{l}{2} = 0.1d^3 [\sigma]_{us}. \quad (3)$$

將式(3)二邊除以 d ，並用 φ 代表 $\frac{l}{d}$ ，得到：

$$P \frac{\varphi}{2} = 0.1d^2 [\sigma]_{us},$$

由此得

$$d = 2.236 \sqrt{\frac{P\varphi}{[\sigma]_{us}}}. \quad (4)$$

按照壓力強度計算

$$P = [p]ll, \quad (1a)$$

式中 $[p]$ 是許用平均壓力強度($\kappa\tau/c\mu^2$)。